

А. В. Добрыднев,\* Т. А. Воловненко, А. В. Туров, Ю. М. Воловенко

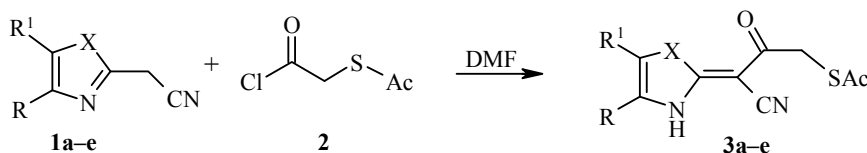
**СИНТЕЗ И СВОЙСТВА 3-ГЕТАРИЛИЛИДЕН-2-ОКСО-3-ЦИАНОПРОПИЛЭТАНТИОАТОВ И 4-ГЕТАРИЛИЛИДЕН-3-ОКСО-4-ЦИАНОБУТИЛЭТАНТИОАТОВ**

Ацилированием гетарилацетонитрилов и гетарилилиденацетонитрилов хлорангидридом ацетилмеркаптоуксусной кислоты получены 3-гетарилилиден-2-оксо-3-цианопропилэтанттиоаты. При их взаимодействии с основаниями образуются 2-амино-3-гетарил-4(5Н)-оксотиофены или 2-гетарилилиден-3-оксо-4-сульфанилбутаннитрилы. Ацилированием гетарилацетонитрилов хлорангидридом 3-ацетилмеркаптопропионовой кислоты получены 4-гетарилилиден-3-оксо-4-цианобутилэтанттиоаты, при деацетилировании которых образуются 2-гетарилилиден-3-оксо-5-сульфанилпентаннитрилы.

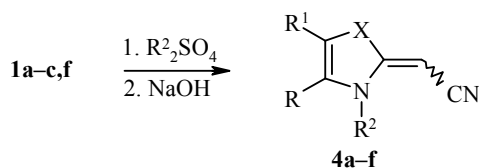
**Ключевые слова:** 2-амино-3-гетарил-4(5Н)-оксотиофены, гетарилацетонитрилы, гетарилилиденацетонитрилы, 2-гетарилилиден-3-оксо-4-сульфанилбутаннитрилы, 2-гетарилилиден-3-оксо-5-сульфанилпентаннитрилы, 4-гетарилилиден-3-оксо-4-цианобутилэтанттиоаты, 3-гетарилилиден-2-оксо-3-цианопропилэтанттиоаты, ланта-ноидные сдвигающие реагенты, хлорангидрид 3-ацетилмеркаптопропионовой кислоты, хлорангидрид ацетилмеркаптоуксусной кислоты, стереоселективный синтез.

Ранее нами было осуществлено взаимодействие гетарилацетонитрилов **1a,b** с хлорангидридом ацетилмеркаптоуксусной кислоты (**2**) и изучены спектральные свойства полученных 3-гетарилилиден-2-оксо-3-цианопропилэтанттиоатов **3a,b** [1–3]. В данной работе мы расширили ряд ацилируемых субстратов: в реакцию были вовлечены гетарилацетонитрилы **1c–e** (схема 1), а также гетарилилиденацетонитрилы **4a–f** (табл. 1), полученные алкилированием соединений **1a–c,f** диалкилсульфатами с последующей обработкой водным раствором NaOH (схема 2). Соединения **4a,c,d** были получены ранее по методу, описанному в работах [4–6].

Схема 1



**1–3 a–c** R + R<sup>1</sup> = CH=CH–CH=CH; **1,3 a** X = NMe, **b** X = S, **c** X = NCHF<sub>2</sub>;  
**d** R + R<sup>1</sup> = CH=C(Me)–C(Me)=CH, X = NMe, **e** R = R<sup>1</sup> = H, X = NCH<sub>2</sub>Ph



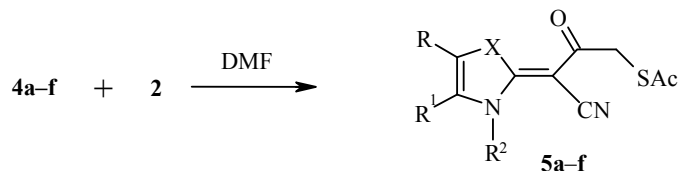
**4 a-e** R + R<sup>1</sup> = CH=CH-CH=CH, **a** R<sup>2</sup> = Me, X = NMe, **b** R<sup>2</sup> = Et, X = NMe, **c** R<sup>2</sup> = Me, X = S, **d** R<sup>2</sup> = Et, X = S, **e** R<sup>2</sup> = Me, X = NCHF<sub>2</sub>; **1f, 4f** R + R<sup>1</sup> = CH=C(Me)-CH=CH, X = NMe; **4f** R<sup>2</sup> = Me

На соотношение образующихся (*Z*)- и (*E*)-изомеров соединений **4b,e,f** влияет электроотрицательность заместителей при атомах азота и в ароматическом ядре, а также природа гетероатома в X.

Строение изомеров и их соотношение были установлены по данным спектров ЯМР <sup>1</sup>H. Так, продукты **4c,d** образуются исключительно в виде (*Z*)-изомеров, в которых группа CN находится в *транс*-положении относительно фрагмента NR<sup>2</sup>. Из соединения **1a** образуется симметричный продукт **4a**, а остальные несимметричные азотсодержащие гетарилилиден-ацетонитрилы были выделены в виде смесей: **4e** 1:1.67 (*E:Z*), **4b** 1:1.46 (*E:Z*) и **4f** 1:1.1 (*E:Z*), в которых преобладает изомер с *транс*-положением нитрильной группы относительно фрагмента NR<sup>2</sup> (табл. 2).

В ИК спектрах соединений **4a-f** присутствует интенсивная полоса поглощения в области 2175–2150 см<sup>-1</sup>, характерная для сопряженной нитрильной группы [7], а также полосы валентных колебаний сопряженной связи C=C при 1600–1588 см<sup>-1</sup>. В спектрах ЯМР <sup>1</sup>H, записанных в ДМСО-d<sub>6</sub>, наблюдается узкий синглет протона группы =CHCN в области 3.53–4.15 м. д.

При ацилировании соединений **4a-f** хлорангидридом **2** с высоким выходом как из (*Z*)-, так и (*E*)-изомера получается один продукт реакции **5a-f** (схема 3).



**5a-f** X = R-R<sup>2</sup>, см. соединения **4a-f** соответственно (схема 2)

Конфигурация 3-гетарилилиден-2-оксо-3-цианопропилэтантоатов **5b,d,e** была установлена методом спектроскопии ЯМР <sup>1</sup>H с помощью лантаноидных сдвигающих реагентов (ЛСР).

Так, применение Eu(FOD)<sub>3</sub>\* показало, что в этих соединениях группа CN находится в *транс*-положении относительно фрагмента X (см. формулу **5a-f** на схеме 3). Близость структур соединений **5b,d** и **5c,f**, соответственно, позволяет предположить, что последние имеют подобную конфигурацию.

S-Ацилпроизводные **3a-e** и **5a,b,e,f** под действием оснований (щелочь, первичные, вторичные амины) деацетируются и образовавшиеся меркаптонитрилы претерпевают внутримолекулярную циклизацию.

\* FOD – 2,2-диметил-6,6,7,7,8,8,8-гептафтороктан-3,5-дион

## Характеристики синтезированных соединений

Соединение	Брутто-формула	Найдено, % Вычислено, %		Т. пл., °С *	Выход, %**
		N	S		
1	2	3	4	5	6
<b>3c</b>	C <sub>14</sub> H <sub>11</sub> F <sub>2</sub> N <sub>3</sub> O <sub>2</sub> S	<u>12.97</u> 13.00	<u>10.02</u> 9.92	206	80
<b>3d</b>	C <sub>16</sub> H <sub>17</sub> N <sub>3</sub> O <sub>2</sub> S	<u>13.40</u> 13.32	<u>10.13</u> 10.17	239–240	72
<b>3e</b>	C <sub>16</sub> H <sub>15</sub> N <sub>3</sub> O <sub>2</sub> S	<u>13.30</u> 13.41	<u>10.22</u> 10.23	143–145	30
<b>4b</b>	C <sub>12</sub> H <sub>13</sub> N <sub>3</sub>	<u>21.03</u> 21.09	–	90–92	76
<b>4e</b>	C <sub>11</sub> H <sub>9</sub> F <sub>2</sub> N <sub>3</sub>	<u>19.06</u> 19.00	–	142–143	59
<b>4f</b>	C <sub>12</sub> H <sub>13</sub> N <sub>3</sub>	<u>20.98</u> 21.09	–	158–160	80
<b>5a</b>	C <sub>15</sub> H <sub>15</sub> N <sub>3</sub> O <sub>2</sub> S	<u>13.89</u> 13.94	<u>10.61</u> 10.64	142	60 (72)
<b>5b</b>	C <sub>16</sub> H <sub>17</sub> N <sub>3</sub> O <sub>2</sub> S	<u>13.31</u> 13.32	<u>10.06</u> 10.17	144	80 (67)
<b>5c</b>	C <sub>14</sub> H <sub>12</sub> N <sub>2</sub> O <sub>2</sub> S <sub>2</sub>	<u>9.14</u> 9.20	<u>21.11</u> 21.07	225	75 (70)
<b>5d</b>	C <sub>15</sub> H <sub>14</sub> N <sub>2</sub> O <sub>2</sub> S <sub>2</sub>	<u>8.73</u> 8.80	<u>20.10</u> 20.14	184–185	79 (65)
<b>5e</b>	C <sub>15</sub> H <sub>13</sub> F <sub>2</sub> N <sub>3</sub> O <sub>2</sub> S	<u>12.40</u> 12.46	<u>9.58</u> 9.50	154	78
<b>5f</b>	C <sub>16</sub> H <sub>17</sub> N <sub>3</sub> O <sub>2</sub> S	<u>13.27</u> 13.32	<u>10.15</u> 10.17	140–142	40
<b>6c</b>	C <sub>12</sub> H <sub>9</sub> F <sub>2</sub> N <sub>3</sub> OS	<u>14.94</u> 14.94	<u>11.35</u> 11.40	240–241 (с разл.)	86
<b>6d</b>	C <sub>14</sub> H <sub>15</sub> N <sub>3</sub> OS	<u>15.31</u> 15.37	<u>11.80</u> 11.73	>300	80
<b>6e</b>	C <sub>14</sub> H <sub>13</sub> N <sub>3</sub> OS	<u>15.54</u> 15.49	<u>11.70</u> 11.82	122–124	65
<b>7a</b>	C <sub>13</sub> H <sub>14</sub> ClN <sub>3</sub> OS	<u>14.30</u> 14.21	<u>10.91</u> 10.84	>300	85
<b>7b</b>	C <sub>14</sub> H <sub>16</sub> ClN <sub>3</sub> OS	<u>13.52</u> 13.56	<u>10.27</u> 10.35	>300	75
<b>7c</b>	C <sub>13</sub> H <sub>12</sub> ClF <sub>2</sub> N <sub>3</sub> OS	<u>12.59</u> 12.67	<u>9.60</u> 9.66	245–246 (с разл.)	42
<b>7d</b>	C <sub>14</sub> H <sub>16</sub> ClN <sub>3</sub> OS	<u>13.49</u> 13.56	<u>10.41</u> 10.35	256–257 (с разл.)	78
<b>8a</b>	C <sub>12</sub> H <sub>10</sub> N <sub>2</sub> OS <sub>2</sub>	<u>10.60</u> 10.68	<u>24.37</u> 24.44	180–182 (с разл.)	75
<b>8b</b>	C <sub>13</sub> H <sub>12</sub> N <sub>2</sub> OS <sub>2</sub>	<u>10.24</u> 10.14	<u>22.08</u> 23.20	177	80
<b>9</b>	C <sub>14</sub> H <sub>14</sub> N <sub>2</sub> OS <sub>2</sub>	<u>9.80</u> 9.65	<u>22.00</u> 22.08	165–166	71
<b>12a</b>	C <sub>15</sub> H <sub>15</sub> N <sub>3</sub> O <sub>2</sub> S	<u>13.99</u> 13.94	<u>10.57</u> 10.64	201–202	60 (50)

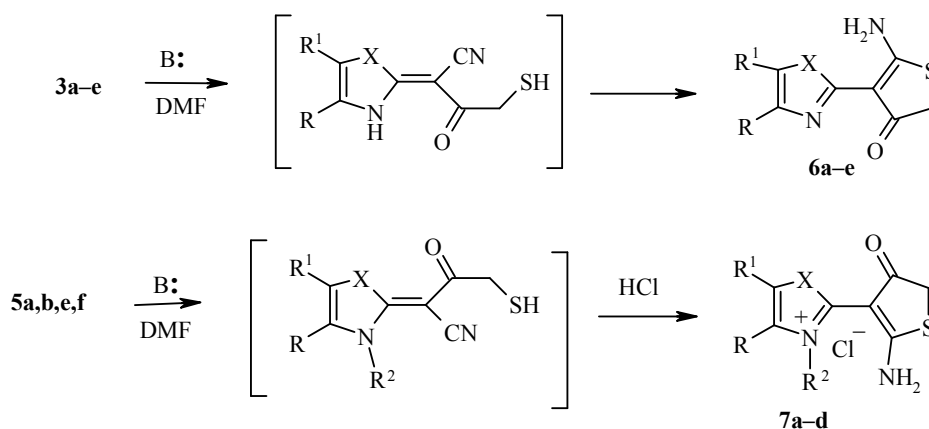
1	2	3	4	5	6
<b>12b</b>	C <sub>16</sub> H <sub>14</sub> N <sub>2</sub> O <sub>2</sub> S	<u>9.40</u> 9.39	<u>10.82</u> 10.75	142	57 (52)
<b>13a</b>	C <sub>13</sub> H <sub>13</sub> N <sub>3</sub> OS	<u>16.24</u> 16.20	<u>12.48</u> 12.36	198–199	82
<b>13b</b>	C <sub>14</sub> H <sub>12</sub> N <sub>2</sub> OS	<u>10.87</u> 10.93	<u>12.46</u> 12.51	153	78

\* Растворители для перекристаллизации: *n*-BuOH (соединения **3b,d**, **5d**, **6c,d**); 2-PrOH (соединения **3e**, **4b,e,f**, **5a,b,e,f**, **6e**, **8a,b**, **9**, **12a,b**, **13a,b**); HOAc (соединение **5c**), водный 2-PrOH (соединения **7a–d**).

\*\* В скобках указан выход образца, полученного из синтезированных в данной работе соединений – ацилированием соединений **8a,b** и **13a,b** и алкилированием соединения **3a**.

При этом из соединений **3a–e** (с фрагментом N(3)H) образуются соответствующие замещенные оксотиофены **6a–e**, а в случае соединений **5a,b,e,f** (с фрагментом N(3)R<sup>2</sup>) продукты циклизации удается выделить в виде солей **7a–d**.

Схема 4



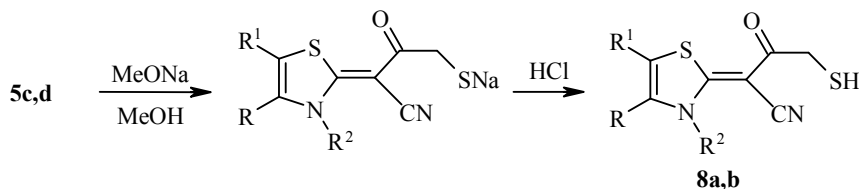
**6a–e** R, R<sup>1</sup>, X см. соединения **3a–e** (схема 1).

**7a–c** R + R<sup>1</sup> = CH=CH–CH=CH, **a** R<sup>2</sup> = Me, X = NMe, **b** R<sup>2</sup> = Et, X = NMe, **c** R<sup>2</sup> = Me, X = NCHF<sub>2</sub>; **d** R + R<sup>1</sup> = CH=C(Me)–CH=CH, R<sup>2</sup> = Me, X = NMe

Соединения **6a** и **6b** были получены нами ранее [2, 3].

Деацетилирование соединений **5c,d**, в отличие от соединения **3c**, не сопровождается циклизацией, а при подкислении щелочного раствора выделяются 2-гетарилилиден-3-оксо-4-сульфанилбутаннитрилы **8a,b** (схема 5).

Схема 5



**8a,b** R + R<sup>1</sup> = CH=CH–CH=CH, **a** R<sup>2</sup> = Me, **b** R<sup>2</sup> = Et

## Спектральные характеристики синтезированных соединений

Со- еди- не- ние*	ИК спектр, $\nu$ , $\text{cm}^{-1}$	Спектр ЯМР $^1\text{H}$ , $\delta$ , м. д. ( $J$ , Гц)	Масс- спектр, $m/z$ [ $\text{M}+\text{H}$ ] $^+$
1	2	3	4
<b>3c</b>	3131.65 (N-H); 2196.07 (C≡N); 1683.91 (C=O) <sub>SACs</sub> ; 1630.76 (C=O)	2.38 (3H, с, COCH <sub>3</sub> ); 4.09 (2H, с, CH <sub>2</sub> ); 7.34 (2H, м, H-5,6); 7.62 (1H, м, H-4); 7.72–7.74 (1H, м, H-7); 8.28 (1H, т, $^2J = 57.6$ , CHF <sub>2</sub> ); 13.63 (1H, уш. с, NH)	324.0
<b>3d</b>	3187.67 (N-H); 2190.47 (C≡N); 1700.69 (C=O) <sub>SACs</sub> ; 1586.01 (C=O)	2.32 (3H, с, 6-CH <sub>3</sub> ); 2.35 (3H, с, 5-CH <sub>3</sub> ); 2.37 (3H, с, COCH <sub>3</sub> ); 3.93 (3H, с, NCH <sub>3</sub> ); 4.04 (2H, с, CH <sub>2</sub> ); 7.32 (1H, с, H-7); 7.37 (1H, с, H-4); 13.08 (1H, с, NH)	316.0
<b>3e</b>	3215.68 (N-H); 2179.27 (C≡N); 1692.30 (C=O) <sub>SACs</sub> ; 1580.41 (C=O)	2.33 (3H, с, COCH <sub>3</sub> ); 3.94 (2H, с, CH <sub>2</sub> ); 5.49 (2H, с, NCH <sub>2</sub> ); 7.08–7.37 (7H, м, C <sub>6</sub> H <sub>5</sub> , H-4,5); 13.05 (1H, уш. с, NH)	314.0
<b>4b</b>	2150.61 (C≡N)  2173.66 (C≡N)	( <i>E</i> )-Изомер. 1.13 (3H, т, $J = 6.8$ , CH <sub>2</sub> CH <sub>3</sub> ); 3.62 (1H, с, CHCN); 3.69 (3H, с, NCH <sub>3</sub> ); 3.84 (2H, к, $J = 6.8$ , NCH <sub>2</sub> ); 7.05 (2H, м, H-4,7); 7.17 (2H, м, H-5,6)  ( <i>Z</i> )-Изомер. 1.29 (3H, т, $J = 6.8$ , CH <sub>2</sub> CH <sub>3</sub> ); 3.28 (3H, с, NCH <sub>3</sub> ); 3.53 (1H, с, CHCN); 4.25 (2H, к, $J = 6.8$ , NCH <sub>2</sub> ); 7.05 (2H, м, H-4,7); 7.17 (2H, м, H-5,6)	200.0
<b>4e</b>	2156.24 (C≡N)  2173.66 (C≡N)	( <i>E</i> )-Изомер. 3.32 (3H, с, NCH <sub>3</sub> ); 3.88 (1H, с, CHCN); 7.05 (1H, м, H-4); 7.17 (2H, м, H-5,6); 7.31 (1H, м, H-7); 8.03 (1H, т, $^2J = 58.0$ , CHF <sub>2</sub> )  ( <i>Z</i> )-Изомер. 3.73 (3H, с, NCH <sub>3</sub> ); 4.15 (1H, с, CHCN); 7.05 (1H, м, H-4); 7.17 (2H, м, H-5,6); 7.31 (1H, м, H-7); 7.72 (1H, т, $^2J = 57.2$ , CHF <sub>2</sub> )	222.0
<b>4f</b>	2151.26 (C≡N)	2.36 (3H, с, 5-CH <sub>3</sub> ); 3.26 (3H, с, N(3)CH <sub>3</sub> ); 3.34 (1H, с, CHCN); 3.69 (3H, с, N(1)CH <sub>3</sub> ); 6.81 (1H, д, $J = 8.0$ , H-4); 6.92 (2H, м, H-6,7)	200.4
<b>5a</b>	2173.66 (C≡N); 1683.91 (C=O) <sub>SACs</sub> ; 1602.79 (C=O)	2.37 (3H, с, COCH <sub>3</sub> ); 3.75 (6H, с, NCH <sub>3</sub> ); 4.00 (2H, с, CH <sub>2</sub> ); 7.45 (2H, м, H-4,7); 7.71 (2H, м, H-5,6)	302.0
<b>5b</b>	2173.66 (C≡N); 1686.71 (C=O) <sub>SACs</sub> ; 1602.79 (C=O)	1.45 (3H, т, $J = 6.8$ , CH <sub>2</sub> CH <sub>3</sub> ); 2.37 (3H, с, COCH <sub>3</sub> ); 3.70 (3H, с, NCH <sub>3</sub> ); 3.99 (2H, с, COCH <sub>2</sub> ); 4.42 (2H, к, $J = 6.8$ , CH <sub>2</sub> CH <sub>3</sub> ); 7.48 (2H, м, H-4,7); 7.78 (2H, м, H-5,6)	316.0
<b>5c</b>	2184.87 (C≡N); 1695.10 (C=O) <sub>SACs</sub> ; 1613.98 (C=O)	2.39 (3H, с, COCH <sub>3</sub> ); 4.15 (2H, с, CH <sub>2</sub> ); 4.19 (3H, с, NCH <sub>3</sub> ); 7.40 (1H, т, $J = 8.0$ , H-5); 7.56 (1H, т, $J = 8.0$ , H-6); 7.72 (1H, д, $J = 8.0$ , H-4); 7.91 (1H, д, $J = 8.0$ , H-7)	305.2
<b>5d</b>	2190.47 (C≡N); 1681.11 (C=O) <sub>SACs</sub> ; 1613.98 (C=O)	1.54 (3H, т, $J = 7.2$ , CH <sub>2</sub> CH <sub>3</sub> ); 2.39 (3H, с, COCH <sub>3</sub> ); 4.16 (2H, с, CH <sub>2</sub> ); 4.81 (2H, к, $J = 7.2$ , CH <sub>2</sub> CH <sub>3</sub> ); 7.39 (1H, т, $J = 8.0$ , H-5); 7.55 (1H, т, $J = 8.0$ , H-6); 7.74 (1H, д, $J = 8.0$ , H-4); 7.91 (1H, д, $J = 8.0$ , H-7)	318.8

Продолжение таблицы 2

1	2	3	4
<b>5e</b>	2184.87 (C≡N); 1695.10 (C=O) <sub>SACs</sub> ; 1605.59 (C=O)	2.37 (3H, c, COCH <sub>3</sub> ); 3.85 (3H, c, NCH <sub>3</sub> ); 4.04 (2H, c, CH <sub>2</sub> ); 7.51–7.54 (2H, м, H-5,6); 7.56 (1H, т, <sup>2</sup> J = 56.5, CHF <sub>2</sub> ); 7.74 (1H, д, J = 7.6, H-4); 7.83 (1H, д, J = 7.4, H-7)	338.0
<b>5f</b>	2168.06 (C≡N); 1686.71 (C=O) <sub>SACs</sub> ; 1602.79 (C=O)	2.37 (3H, c, COCH <sub>3</sub> ); 2.5 (3H, c, 5-CH <sub>3</sub> ); 3.72 (3H, c, N(3)CH <sub>3</sub> ); 3.73 (3H, c, N(1)CH <sub>3</sub> ); 3.99 (2H, c, CH <sub>2</sub> ); 7.27 (1H, д, J = 8.0, H-6); 7.53 (1H, c, H-4); 7.60 (1H, д, J = 8.0, H-7)	316.0
<b>6c</b>	3187.67 (N-H) <sub>ac</sub> ; 3058.82 (N-H) <sub>CHMs</sub> ; 1588.81 (C=O)	3.79 (2H, c, CH <sub>2</sub> ); 7.27–7.30 (2H, м, H-5,6); 7.61–7.67 (2H, м, H-4,7); 7.95 (1H, т, <sup>2</sup> J = 58.0, CHF <sub>2</sub> ); 9.31 (1H, уш. с, NH); 9.49 (1H, уш. с, NH)	282.0
<b>6d</b>	3327.73 (N-H) <sub>ac</sub> ; 3254.90 (N-H) <sub>CHMs</sub> ; 1611.18 (C=O)	2.32 (3H, c, 6-CH <sub>3</sub> ); 2.36 (3H, c, 5-CH <sub>3</sub> ); 3.69 (5H, c, NCH <sub>3</sub> , CH <sub>2</sub> ); 7.14 (1H, c, H-7); 7.28 (1H, c, H-4); 8.98 (2H, уш. с, NH <sub>2</sub> )	274.2
<b>6e</b>	3372.54 (N-H) <sub>ac</sub> ; 3249.29 (N-H) <sub>CHMs</sub> ; 1611.18 (C=O)	3.61 (2H, c, SCH <sub>2</sub> ); 5.31 (2H, c, NCH <sub>2</sub> ); 6.95–7.04 (4H, м, 4,5-H, CH <sub>2</sub> C <sub>6</sub> H <sub>5</sub> -3,5); 7.20–7.25 (3H, м, CH <sub>2</sub> C <sub>6</sub> H <sub>5</sub> -2,4,6); 8.55 (1H, уш. с, NH); 8.72 (1H, уш. с, NH)	272.2
<b>7a</b>	3512.60 (N-H) <sub>ac</sub> ; 3260.50 (N-H) <sub>CHMs</sub> ; 1622.37 (C=O)	3.90 (6H, c, 2NCH <sub>3</sub> ); 3.96 (2H, c, CH <sub>2</sub> ); 7.66 (2H, м, J = 3.2, H-4,7); 7.99 (2H, м, J = 3.2, H-5,6)	260.0
<b>7b</b>	3422.96 (N-H) <sub>ac</sub> ; 3109.24 (N-H) <sub>CHMs</sub> ; 1641.95 (C=O)	1.42 (3H, т, J = 6.8, NCH <sub>2</sub> CH <sub>3</sub> ); 3.86 (3H, c, NCH <sub>3</sub> ); 3.92 (2H, c, SCH <sub>2</sub> ); 4.42 (2H, м, NCH <sub>2</sub> ); 7.63 (2H, м, H-4,7); 8.01 (2H, м, H-5,6); 9.59 (1H, c, NH); 9.77 (1H, c, NH)	274.0
<b>7c</b>	3428.57 (N-H) <sub>ac</sub> ; 3126.05 (N-H) <sub>CHMs</sub> ; 1630.76 (C=O)	3.95 (3H, c, NCH <sub>3</sub> ); 3.96 (2H, c, CH <sub>2</sub> ); 7.74 (2H, м, H-4,7); 7.89 (1H, т, <sup>2</sup> J = 55.6, CHF <sub>2</sub> ); 7.96 (1H, м, H-5); 8.09 (1H, м, H-6); 9.76 (1H, c, NH); 9.98 (1H, c, NH)	296.0
<b>7d</b>	3434.17 (N-H) <sub>ac</sub> ; 3204.48 (N-H) <sub>CHMs</sub> ; 1639.16 (C=O)	2.58 (3H, c, 5-CH <sub>3</sub> ); 3.82 (3H, c, N(3)CH <sub>3</sub> ); 3.83 (3H, c, N(1)CH <sub>3</sub> ); 3.93 (2H, c, CH <sub>2</sub> ); 7.45 (1H, д, J = 8.0, H-6); 7.76 (1H, c, H-4); 7.83 (1H, д, J = 8.0, H-7); 9.38 (1H, c, NH); 9.61 (1H, уш. с, NH)	274.13
<b>8a</b>	2565.82 (S-H); 2190.47 (C≡N); 1616.78 (C=O)	2.55 (1H, т, J = 8.0, SH); 3.65 (2H, д, J = 8.0, CH <sub>2</sub> S); 4.20 (3H, c, NCH <sub>3</sub> ); 7.40 (1H, т, J = 8.0, H-5); 7.55 (1H, т, J = 8.0, H-6); 7.73 (1H, д, J = 8.0, H-4); 7.93 (1H, д, J = 8.0, H-7)	263.0
<b>8b</b>	2565.82 (S-H); 2196.07 (C≡N); 1630.76 (C=O)	1.53 (3H, т, J = 7.2, CH <sub>2</sub> CH <sub>3</sub> ); 2.59 (1H, т, J = 8.0, SH); 3.65 (2H, д, J = 8.0, CH <sub>2</sub> S); 4.80 (2H, κ, J = 7.2, NCH <sub>2</sub> CH <sub>3</sub> ); 7.40 (1H, т, J = 8.0, H-5); 7.56 (1H, т, J = 8.0, H-6); 7.75 (1H, д, J = 8.0, H-4); 7.93 (1H, д, J = 8.0, H-7)	277.5
<b>9</b>	2184.87 (C≡N); 1616.78 (C=O)	1.25 (3H, т, J = 7.2, CH <sub>2</sub> CH <sub>3</sub> ); 2.59 (2H, κ, J = 7.2, CH <sub>2</sub> CH <sub>3</sub> ); 3.55 (2H, c, CH <sub>2</sub> S); 4.17 (3H, c, NCH <sub>3</sub> ); 7.37 (1H, т, J = 8.0, H-5); 7.53 (1H, т, J = 8.0, H-6); 7.69 (1H, д, J = 8.0, H-4); 7.88 (1H, д, J = 8.0, H-7)	291.2
<b>12a</b>	3193.27 (N-H); 2190.47 (C≡N); 1686.71 (C=O) <sub>SACs</sub> ; 1591.60 (C=O)	2.31 (3H, c, COCH <sub>3</sub> ); 2.91 (2H, т, J = 6.8, CH <sub>2</sub> S); 3.13 (2H, т, J = 6.8, COCH <sub>2</sub> ); 3.96 (3H, c, NCH <sub>3</sub> ); 7.26 (2H, м, H-5,6); 7.51 (1H, д, J = 8.0, H-7); 7.66 (1H, д, J = 8.0, H-4); 13.32 (1H, уш. с, NH)	302.2

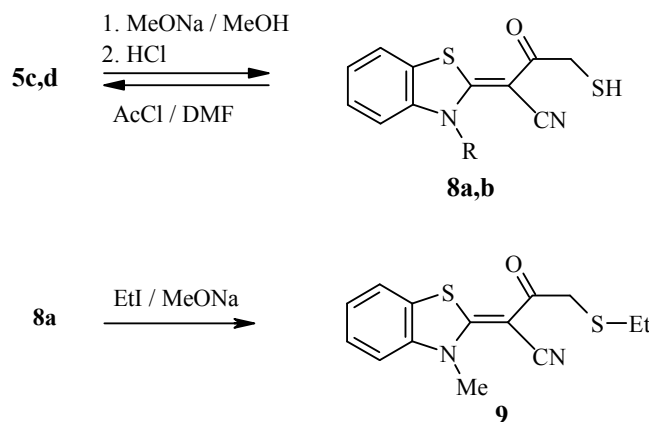
1	2	3	4
<b>12b</b>	3434.17 (N–H); 2190.47 (C≡N); 1683.91 (C=O) <sub>S<sub>Ac</sub></sub> 1633.56 (C=O)	2.32 (3H, с, COCH <sub>3</sub> ); 2.97 (2H, т, <i>J</i> = 6.8, CH <sub>2</sub> S); 3.14 (2H, т, <i>J</i> = 6.8, COCH <sub>2</sub> ); 7.32 (1H, д, <i>J</i> = 9.2, H-3); 7.50 (1H, т, <i>J</i> = 7.6, H-6); 7.76 (1H, т, <i>J</i> = 7.6, H-7); 7.87 (1H, д, <i>J</i> = 7.6, H-8); 7.89 (1H, д, <i>J</i> = 7.6, H-5); 8.37 (1H, д, <i>J</i> = 9.2, H-4); 15.50 (1H, уш. с, NH)	299.2
<b>13a</b>	2560.22 (S–H); 2179.27 (C≡N); 1597.20 (C=O)	2.02 (1H, т, <i>J</i> = 8.0, SH); 2.76 (2H, к, <i>J</i> = 8.0, CH <sub>2</sub> S); 2.94 (2H, т, <i>J</i> = 8.0, COCH <sub>2</sub> ); 3.98 (3H, с, NCH <sub>3</sub> ); 7.23 (2H, м, H-5,6); 7.52 (1H, д, <i>J</i> = 8.0, H-7); 7.66 (1H, д, <i>J</i> = 8.0, H-4); 13.38 (1H, уш. с, NH)	260.0
<b>13b</b>	2521.00 (S–H); 2196.07 (C≡N); 1630.76 (C=O)	2.11 (1H, т, <i>J</i> = 8.0, SH); 2.82 (2H, к, <i>J</i> = 8.0, CH <sub>2</sub> S); 3.14 (2H, т, <i>J</i> = 8.0, COCH <sub>2</sub> ); 7.32 (1H, д, <i>J</i> = 9.2, H-3); 7.50 (1H, т, <i>J</i> = 7.6, H-6); 7.76 (1H, т, <i>J</i> = 7.6, H-7); 7.87 (1H, д, <i>J</i> = 7.6, H-8); 7.89 (1H, д, <i>J</i> = 7.6, H-5); 8.37 (1H, д, <i>J</i> = 9.2, H-4); 15.59 (1H, уш. с, NH)	257.2

\* Соединения выделены в виде смеси (*Z*)- и (*E*)-изомеров **4b,e,f**.

\*\* Молекулярные ионы имеют вид [M + H]<sup>+</sup> (для соединений **3c–e**, **4b,f,e**, **5a–f**, **6c–e**, **8a,b**, **9**, **12a,b**, **13a,b**) и [M – Cl]<sup>+</sup> для соединений **7a–d**.

Такое различие определяется, очевидно, разным пространственным расположением групп CN и SN в первоначально образующихся тиолах, которое определяется характером фрагмента X и замещением при атоме N(3). Так, при X = NMe, NCHF<sub>2</sub> (в тиолах из соединений **5a,b,e,f**) это расположение благоприятно для циклизации, а при X = S (в тиолах из соединений **5c,d**) – неблагоприятно. Лёгкость образования циклических продуктов **6a–e** из соединений **3a–e** с фрагментом N(3)H (в том числе и при X = S в соединении **3b**) указывает на решающее влияние этого фрагмента на циклизацию, вероятно, благодаря возникающей между ним и группой C=O ВВС, возможной при *cis*-расположении фрагмента CN относительно фрагмента X.

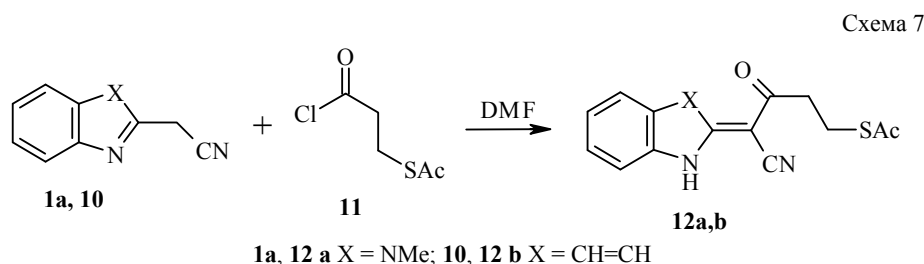
Схема 6



Строение соединений **8a,b** подтверждают их спектральные характеристики (табл. 2). Так, в их спектрах ЯМР  $^1\text{H}$  присутствует сигнал протонов группы  $\text{CH}_2$  тиогликолевого остатка (дублет при 3.65 м. д.) и протона группы  $\text{SH}$  (триплет при 2.55–2.60 м. д.). В ИК спектрах наблюдается слабая полоса поглощения валентных колебаний группы  $\text{SH}$  при  $2565\text{ см}^{-1}$ . Кроме того, обработка соединений **8a,b** ацетилхлоридом приводит к образованию ацилпроизводных **5c,d**, а обработка тиола **8a** этилиодидом – к продукту алкилирования **9**.

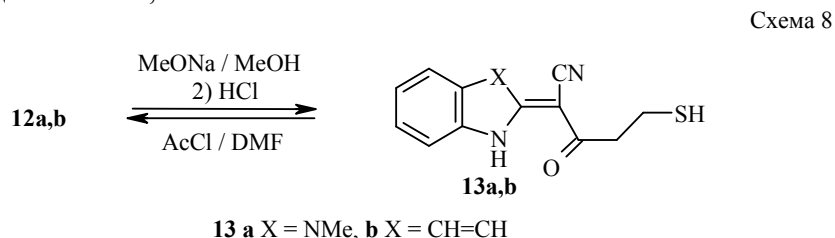
Соединение **3a** способно вступать в реакции алкилирования по фрагменту с  $\text{NH}$  алкилгалогенидами ( $\text{MeI}$ ,  $\text{EtI}$ ) в среде ДМФА в присутствии  $\text{K}_2\text{CO}_3$  с образованием соединений **5a,b** соответственно.

Взаимодействие гетарилацетонитрилов **1a** и **10** с хлорангидридом 3-ацетилмеркаптопропионовой кислоты **11** приводит к 4-гетарилилиден-3-оксо-4-цианобутилэтантоатам **12a,b** (схема 7).



Подобно 3-гетарилилиден-2-оксо-3-цианопропилэтантоатам **3a–e** соединения **12a,b** существуют в таутомерной форме, при которой возникает ВВС между фрагментом  $\text{NH}$  гетероцикла и сопряженной карбонильной группой ацильного фрагмента  $\text{CH}_2\text{COCH}_2$ .

Как и в случае соединений **5c,d** деацетилирование ацетатов **12a,b** сопровождается не циклизацией, а образованием 2-гетарилилиден-3-оксо-5-сульфанилпентаннитрилов **13a,b** (схема 8). Спектры ЯМР  $^1\text{H}$  продуктов **13a,b** как и спектры соединений **8a,b** содержат характерный сигнал протона группы  $\text{SH}$  (триплет в области 2.0–2.1 м. д.), а в ИК спектрах наблюдается слабая полоса поглощения валентных колебаний группы  $\text{SH}$  при  $2560\text{ см}^{-1}$ . Совершенно аналогично, обработка меркаптопроизводных **13a,b** ацетилхлоридом в среде ДМФА, приводит к ацетилированию сульфгидрильной группы, в результате чего регенерируется первоначальная структура соединений **12a,b**.



Таким образом, удлинение углеводородной цепи ацилирующего агента с защищенной меркаптогруппой в конечном итоге приводит к неспособности внутримолекулярной циклизации образующихся тиолов.

## ЭКСПЕРИМЕНТАЛЬНАЯ ЧАСТЬ

Контроль за ходом реакций и чистотой синтезированных соединений проводили методом ТСХ на пластинках Silufol UV-254 в системе хлороформ–метанол, 9 : 1. Спектры ЯМР  $^1\text{H}$  измерены на спектрометре Varian Mercury 400 (400 МГц) в  $\text{DMCO-d}_6$ , внутренний стандарт ТМС. ИК спектры получены на приборе Perkin–Elmer BX в таблетках KBr, масс-спектры – на приборе Agilent 1100 Series с детектором Agilent LC/MSD SL. Температуры плавления измерены на малогабаритном нагревательном столе Voetius с наблюдательным устройством РНМК 05 фирмы VEB Analytic.

**3-Гетарилилиден-2-оксо-3-цианопропилэтантоаты 3a–e, 5a–f и 4-гетарилилиден-3-оксо-4-цианобутилэтантоаты 12a,b** (общая методика). К раствору 5 ммоль гетарилацетонитрила **1a–e**, **10** или гетарилилиденацетонитрила **4a–f** в 5 мл ДМФА при температуре 25 °С добавляют 5.5 ммоль хлорангидрида ацетилмеркаптоуксусной кислоты **2** или хлорангидрида 3-ацетилмеркаптопропионовой кислоты **11**. Реакционную смесь выдерживают 12 ч при комнатной температуре, затем выпавший осадок отфильтровывают, промывают водой, сушат и перекристаллизовывают из соответствующего растворителя (табл. 1).

**Гетарилилиденацетонитрилы 4a–f** (общая методика). Смесь 10 ммоль гетарилацетонитрила **1a–c,f** и 11 ммоль соответствующего диалкилсульфата выдерживают 40 мин при 70 °С. Затем реакционную массу растворяют в 10 мл воды и при перемешивании добавляют раствор 25 ммоль NaOH в 20 мл воды. Выпавший осадок отфильтровывают, промывают холодной водой, сушат и перекристаллизовывают.

**2-Амино-3-гетарил-4(5H)-оксопиофены 6a–e** (общая методика). К раствору 5 ммоль соединения **3a–e** в 5 мл ДМФА добавляют 10 ммоль водного раствора аммиака и выдерживают 24 ч при температуре 30–40 °С. Осадок отфильтровывают, промывают водой, сушат и перекристаллизовывают.

**Хлориды 2-амино-4(5H)-оксопиофенгетарений-3-ил 7a–d** (общая методика). К раствору 5 ммоль соединения **5a,b,e,f** в 10 мл ДМФА добавляют 10 ммоль водного раствора NaOH в 2 мл воды и выдерживают 24 ч при температуре 30–40 °С. В реакционную смесь добавляют водный раствор HCl до слабокислой реакции, упаривают и перекристаллизовывают остаток.

**2-(3-Алкил-2,3-дигидро-1,3-бензотиазол-2-илиден)-3-оксо-4-сульфанилбутаннитрилы 8a,b и 2-гетарилилиден-3-оксо-5-сульфанилпентаннитрилы 13a,b** (общая методика). К суспензии 5 ммоль соединения **6e,f** или **12a,b** в 15 мл MeOH при температуре 60 °С и перемешивании добавляют 10 ммоль MeONa в 10 мл MeOH. После полной гомогенизации реакционной смеси к ней добавляют водный раствор HCl до кислой реакции, выпавший осадок отфильтровывают, промывают водой, сушат и перекристаллизовывают.

**2-(3-Метил-2,3-дигидро-1,3-бензотиазол-2-илиден)-3-оксо-4-этилсульфанилбутаннитрил (9)**. К суспензии 5 ммоль соединения **8a** в 15 мл MeOH при температуре 60 °С и перемешивании добавляют 10 ммоль MeONa в 10 мл MeOH. После полной гомогенизации и охлаждения реакционной смеси к ней, при перемешивании, добавляют 10 ммоль этилиодида. Через 8 ч выпавший осадок продукта **9** отфильтровывают, промывают метанолом, сушат и перекристаллизовывают.

**Ацилирование 2-(3-алкил-2,3-дигидро-1,3-бензотиазол-2-илиден)-3-оксо-4-сульфанилбутаннитрилов 8a,b и 2-гетарилилиден-3-оксо-5-сульфанилпентаннитрилов 13a,b** (общая методика). К раствору 5 ммоль нитрила **8a,b** или **13a,b** в 5 мл ДМФА добавляют 5.5 ммоль  $\text{AcCl}$ . Реакционную смесь выдерживают

12 ч при комнатной температуре, выпавший осадок отфильтровывают, промывают водой, сушат и перекристаллизовывают. Получают соединения **5c,d** или **12a,b**, соответственно, идентичные образцам, синтезированным, как описано выше. Депрессии точки плавления смешанной пробы не наблюдается.

**Алкилирование 3-(1-метил-2,3-дигидро-1H-бензоимидазол-2-илиден)-2-оксо-3-цианопропилэтантоата 3a** (общая методика). К раствору 5 ммоль соединения **3a** в 20 мл ДМФА добавляют 20 ммоль мелкодисперсного K<sub>2</sub>CO<sub>3</sub> и 10 ммоль соответствующего алкилиодида. Реакционную смесь перемешивают 12 ч при температуре 50 °С, охлаждают до комнатной температуры, фильтруют, фильтрат упаривают, остаток перекристаллизовывают. Получают соединения **5a,b** соответственно, идентичные образцам, синтезированным, как описано выше. Депрессии точки плавления смешанной пробы не наблюдается.

#### СПИСОК ЛИТЕРАТУРЫ

1. Ю. М. Воловенко, Т. А. Воловненко, А. В. Добрыднев, *XTC*, 1314 (2006). [*Chem. Heterocycl. Comp.*, **42**, 1137 (2006)].
2. Ю. М. Воловенко, Т. А. Воловненко, А. В. Добрыднев, *XTC*, 680 (2006). [*Chem. Heterocycl. Comp.*, **42**, 594 (2006)].
3. Ю. М. Воловенко, Т. А. Воловненко, *XTC*, 202 (2005). [*Chem. Heterocycl. Comp.*, **41**, 173 (2005)].
4. Л. М. Ягупольский, М. М. Кульчицкий, А. Я. Ильченко, *ЖОрХ*, **10**, 1321 (1974).
5. М. И. Руднев, В. П. Курбатов, Н. К. Чуб, О. А. Осипов, *ЖОХ*, **58**, 2334 (1988).
6. P. D. Frank, D. Kendall, US Pat. 2542401; *Chem. Abstr.*, **45**, 10109 (1951).
7. Ю. М. Воловенко, И. П. Купчевская, С. В. Литвиненко, Ф. С. Бабичев, *Укр. хим. журн.*, **57**, 419 (1991).

Киевский национальный университет  
им. Тараса Шевченко, Киев 01033, Украина  
e-mail: pierrot@gala.net

Поступило 17.04.2009